

znajomości charakterystyk probabilistycznych procesów $Q_j(t, \omega)$ wynika znajomość charakterystyk dla $P_1(t, \omega)$. Podobnie jest z warunkami początkowymi - znając je dla układu (1), można wyznaczyć ich wartości dla (2). Tak więc, gdy zostaną wyznaczone charakterystyki probabilistyczne rozwiązań y_i dla (2), to znane będą charakterystyki rozwiązań z_k dla (2), ponieważ z_k jest równe odpowiedniej y_j . Charakterystyki probabilistyczne dla rozwiązań układu (2) można wyznaczyć na podstawie impulsowej funkcji przejścia (funkcji GREENA) [2 - 4], trudnej jednak do wyznaczenia dla tego typu układów. Dlatego też zostanie wykorzystana metoda równań całkowych [5]. Stochastycznymi równaniami całkowymi zajmowano się w [1, 6].

I-te równanie układu (2) można przez podstawienie

$$y_i^{(n)}(t, \omega) \stackrel{\text{df}}{=} x_i(t, \omega) \quad (3)$$

zamienić na równanie całkowe VOLTERRA II rodzaju postaci

$$x_i(t, \omega) = h_i(t, \omega) - \int_0^t K_i(t, u) x_i(u, \omega) du \quad (4)$$

dla $i = 1, 2, \dots, n$, gdzie $x_i(t, \omega)$ oraz $h_i(t, \omega)$ są rzeczywistymi procesami stochastycznymi $\omega \in \Omega$, $t \in [0, T]$, $K_i(t, u)$ - jądra - rzeczywiste funkcje argumentów t i u oraz $0 \leq u \leq t \leq T < \infty$.

Z (3) wynika, że

$$\begin{aligned} y_i^{(n-k)}(t, \omega) &= y_i^{(n-k)}(0) + y_i^{(n-k+1)}(0)t + \dots + \\ &+ y_i^{(n-1)}(0) \frac{t^{k-1}}{(k-1)!} + \int_0^t \frac{(t-u)^{k-1}}{(k-1)!} x_i(u, \omega) du \end{aligned} \quad (5)$$

dla $k = 1, 2, \dots, n$ $y_i(0)$, $y_i'(0), \dots, y_i^{(n-1)}(0)$ - warunki początkowe dla (2). Podstawiając (3) i (5) do i-tego równania układu (2), otrzymuje się (4), gdzie

$$\begin{aligned} h_i(t, \omega) \stackrel{\text{df}}{=} P_i(t, \omega) - \left\{ a_{n-1 i}(t) y_i^{(n-1)}(0) + \dots + a_{n-k i}(t) \cdot \right. \\ \left. \cdot [y_i^{(n-k)}(0) + y_i^{(n-k+1)}(0)t + \dots + y_i^{(n-1)}(0) \frac{t^{k-1}}{(k-1)!}] + \dots + \right. \\ \left. + a_{0i}(t) [y_i(0) + y_i^{(1)}(0)t + \dots + y_i^{(n-1)}(0) \frac{t^{n-1}}{(n-1)!}] \right\} \end{aligned} \quad (6)$$

$$K_1(t, u) \stackrel{\text{df}}{=} a_{n-1} i(t) + \dots + a_{n-k} i(t) \frac{(t-u)^{k-1}}{(k-1)!} + \dots + a_{0i} \frac{(t-u)^{n-1}}{(n-1)!}.$$

W celu wyznaczenia funkcji korelacji oraz funkcji korelacji wzajemnej rozwiązań procesów $y_1(t, \omega)$ wykorzystane zostaną stochastyczne równania całkowe VOLTERRA II rodzaju w postaci, w której występuje rezolwenta. Dla (4) zajdzie:

$$x_1(t, \omega) = h_1(t, \omega) - \int_0^t R_1(t, u) h_1(u, \omega) du \quad (7)$$

gdzie rezolwenta

$$R_1(t, u) \stackrel{\text{df}}{=} \sum_{n=0}^{\infty} (-1)^n K_{n+1} i(t, u) \quad (8)$$

oraz

$$K_{1i} i(t, u) \stackrel{\text{df}}{=} K_{1i}(t, u)$$

$$K_{n+1} i(t, u) \stackrel{\text{df}}{=} \int_u^t K_{ni}(t, s) K_{1i}(s, u) ds. \quad (9)$$

Według (7) funkcja korelacji przyjmie postać

$$\begin{aligned} K_{x_1}(t_1, t_2) &= K_{h_1}(t_1, t_2) - \int_0^{t_1} R_1(t_1, u_1) K_{h_1}(t_2, u_1) du_1 - \\ &- \int_0^{t_2} R_1(t_2, u_2) K_{h_1}(t_1, u_2) du_2 + \int_0^{t_1} \int_0^{t_2} R_1(t_1, u_1) R_1(t_2, u_2) \cdot \\ &\quad \cdot K_{h_1}(u_1, u_2) du_2 du_1, \end{aligned} \quad (10)$$

gdzie $K_{h_1}(u_1, u_2)$ - funkcja korelacji procesu $h_1(t, \omega)$. Jeśli warunki początkowe są zdeterminowane, to z (5) dla $k = n$ otrzyma się wzór na funkcję korelacji rozwiązania w postaci:

$$\begin{aligned} K_{y_1}(t_1, t_2) \stackrel{\text{df}}{=} E \left\{ \left[y_1(t_1, \omega) - E_{y_1}(t_1, \omega) \right] \left[y_1(t_2, \omega) - \right. \right. \\ \left. \left. - E_{y_1}(t_2, \omega) \right] \right\} = \int_0^{t_1} \int_0^{t_2} \frac{(t_1 - u_1)^{n-1} (t_2 - u_2)^{n-1}}{[(n-1)!]^2} K_{x_1}(u_1, u_2) du_2 du_1. \end{aligned} \quad (11)$$

W szczególności dla wariancji mamy wzór:

$$\sigma_{y_1}^2(t) = \int_0^t \int_0^t \frac{(t-u_1)^{n-1} (t-u_2)^{n-1}}{[(n-1)!]^2} K_{x_1}(u_1, u_2) du_2 du_1. \quad (11')$$

Natomiast funkcja korelacji wzajemnej rozwiązań $y_1(t, \omega)$ oraz $y_j(t, \omega)$ wyraża się wzorem:

$$K_{y_1 y_j}(t_1, t_2) = \int_0^{t_1} \int_0^{t_2} \frac{(t_1-u_1)^{n-1} (t_2-u_2)^{n-1}}{[(n-1)!]^2} K_{x_1 x_j}(u_1, u_2) du_2 du_1 \quad (12)$$

oraz

$$K_{x_1 x_j}(t_1, t_2) = K_{h_1 h_j}(t_1, t_2) - \int_0^{t_1} R_1(t_1, u_1) K_{h_1 h_j}(u_1, t_2) du_1 - \\ - \int_0^{t_2} R_j(t_2, u_2) K_{h_1 h_j}(t_1, u_2) du_2 + \int_0^{t_1} \int_0^{t_2} R_1(t_1, u_1) R_j(t_2, u_2) K_{h_1 h_j}(u_1, u_2) du_2 du_1 \quad (13)$$

gdzie $K_{h_1 h_j}(u_1, u_2)$ jest funkcją korelacji wzajemnej procesów $h_1(t, \omega)$ oraz $h_j(t, \omega)$. Założenie, że warunki początkowe są zdeterminowane powoduje, że wg (6)

$$K_{h_1}(t_1, t_2) = K_{p_1}(t_1, t_2) \quad \text{oraz} \quad K_{h_1 h_j}(t_1, t_2) = K_{p_1 p_j}(t_1, t_2).$$

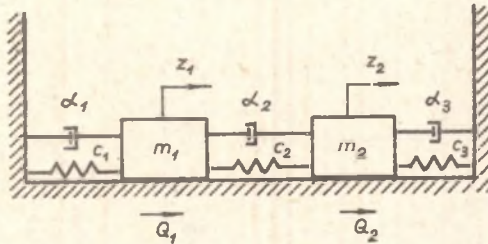
Wykorzystując wzory (10) i (11) obliczono wariancję rozwiązań dla układu o wzajemnej masie i dwóch stopniach swobody, którego ruch jest opisany układem równań (rys. 1):

$$\left. \begin{aligned} m_1 \ddot{z}_1 + (\underline{d}_1 + \underline{d}_2) \dot{z}_1 - \underline{d}_2 \dot{z}_2 + (c_1 + c_2) z_1 - c_2 z_2 &= Q_1(t, \omega) \\ m_2 \ddot{z}_2 + (\underline{d}_2 + \underline{d}_3) \dot{z}_2 - \underline{d}_2 \dot{z}_1 + (c_2 + c_3) z_2 - c_2 z_1 &= Q_2(t, \omega) \end{aligned} \right\} \quad (14)$$

Do dalszych rozwiązań założono, że

$$m_i = m(t) \stackrel{\text{df}}{=} \begin{cases} 1 - at & t \leq 1 \\ 1 - a & t > 1 \end{cases}$$

oraz a - stała i $a \in (0, 1)$; $\zeta_1 = \zeta_3 = \zeta$, ζ - stała; $\zeta_2 = 0$; $c_1 = c_2 = c_3 = c$ i c stała; $Q_2 = D m_1$ [kg] - masy, ζ_1 [kg/s] - współczynniki tłumienia, c_1 [kg/s²] - stałe sprężyste, $Q_1(t, \omega)$ [N] - siły, t [s] - czas, z_1 [m] - przemieszczenie, a stąd \dot{z}_1^2 [m²].



Rys. 1

Obliczenie numeryczne przeprowadzono dla funkcji korelacji o postaci:

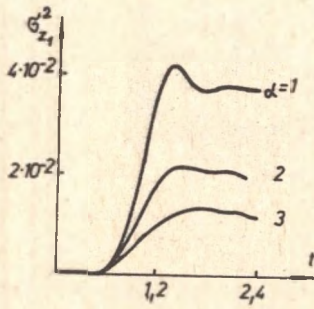
$$K_{Q_1}(t_1, t_2) = C e^{-\beta |t_1 - t_2|} \cos \gamma (t_1 - t_2). \quad (15)$$

Założono $C = 1$, ze względu na możliwość wyłączenia C przed całki we wzorach (10) i (11) oraz skorzystano z algorytmów podanych w [7]. Układ równań (14) można przekształcić do postaci:

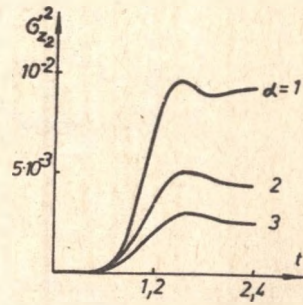
$$\begin{aligned} \ddot{z}_1 + \frac{1}{m} [2 \dot{m} + \zeta(1 + m)] \dot{z}_1 + \frac{1}{m} [2 c(1 + m) + \zeta(\dot{m} + \zeta)] z_1 \\ \ddot{z}_1 + \frac{4 \zeta c}{m} \dot{z}_1 + \frac{3 c^2}{m} z_1 = \frac{1}{m} [\ddot{Q}_1 + \zeta \dot{Q}_1 + 2 c Q_1] \\ \ddot{z}_2 + \frac{\zeta}{m} (m + 1) \dot{z}_2 + \frac{1}{m} [2 c(m + 1) + \zeta^2] z_2 + \frac{4 \zeta c}{m} \dot{z}_1 + \frac{3 c^2}{m} z_1 = \frac{c}{m} Q_1. \end{aligned} \quad (16)$$

Oznaczając prawe strony równań układu (16) odpowiednio przez $P_1(t, \omega)$ i $P_2(t, \omega)$ oraz stosując metody analizy korelacyjnej [2 - 3] otrzymano dla procesów P_1 i P_2 następujące postaci funkcji korelacji:

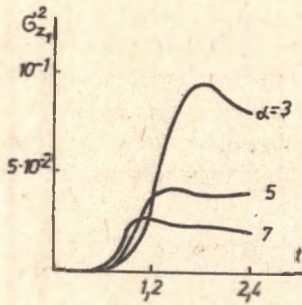
$$\begin{aligned} K_{P_1}(t_1, t_2) = \frac{1}{m(t_1) m(t_2)} e^{-\beta |t_1 - t_2|} \cdot \\ \cdot \left\{ [\beta^4 - 6\beta^2 \gamma^2 + \gamma^4 + (4c - \zeta^2)(\beta^2 - \gamma^2) + 4c^2] \cos \gamma (t_1 - t_2) + (17) \right. \\ \left. + 2\beta \gamma [2(\beta^2 - \gamma^2) + 4c - \zeta^2] \sin \gamma |t_1 - t_2| \right\} \end{aligned}$$



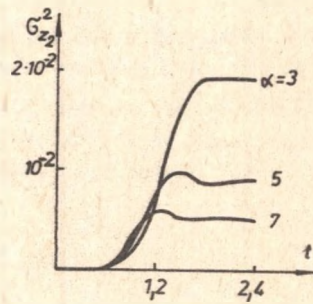
Rys. 2



Rys. 3



Rys. 4



Rys. 5

oraz

$$K_{P_2}(t_1, t_2) = \frac{c^2}{m(t_1)m(t_2)} e^{-\beta|t_1-t_2|} \cos \gamma(t_1 - t_2) \quad (18)$$

Na rysunkach 2-5 przedstawiono wykresy wariancji rozwiązań dla układu (14), gdy wymuszeniem jest proces stochastyczny o funkcji korelacji postaci (15). Rysunki 2 i 3 przedstawiają wariancje $\sigma_{z_1}^2$ i $\sigma_{z_2}^2$ przy różnych wartościach współczynnika tłumienia. Przyjęto $\alpha = 1, 2, 3$ oraz $c = 5$, $a = 0,5$, $\beta = \gamma = 1$. Zaobserwowano, że większym współczynnikiem tłumienia odpowiadają mniejsze wartości wariancji. Rysunki 4 i 5 przedstawiają zmiany wartości wariancji dla różnych wartości współczynnika sprężystości c . Przyjęto to oraz $\alpha = 1$, $a = 0,5$, $\beta = \gamma = 1$, $c = 3, 4, 7$.

Dla większych wartości c otrzymano mniejsze wartości wariancji. Przebadano także wpływ pozostałych współczynników na wartości wariancji. Otrzymano zależności podobne jak w powyższych przypadkach. Wariancje rozwiązań mają tendencje do ustalenia się na pewnym poziomie po upływie pewnego czasu.

LITERATURA

- [1] Bharucha-Reid A.T.: Random Integral Equations. Acad. Press, N.Y. and London 1972.
- [2] Skalmierski B., Tylikowski A.: Procesy stochastyczne w dynamice. PWN Warszawa 1972.
- [3] Sobczyk K.: Metody dynamiki statystycznej. PWN, Warszawa 1973.
- [4] Solodov A.V., Petrov F.S.: Linijnyje awtomatyczeskije sistjemy s pjeremjennymi paramjetriami. Izd. Nauka, Moskwa 1971.
- [5] Szopa J.: Application of VOLTERRA Stochastic Integral Equations of the II-nd Kind to the Analysis of Dynamic Systems of Variable Inertia, Journal of Technical Physics, 17, 4, 1976.
- [6] Tsokos Ch.P., Padgett W.J.: Random Integral Equations with Applications to Stochastic Systems. Springer-Verlag, Berlin 1971.
- [7] Wojtylak M.: Numeryczne problemy obliczania wariancji dla układów opisanych stochastycznym równaniem całkowym VOLTERRA II rodzaju. Zesz. Nauk. Polit. Śl., seria Matematyka-Fizyka z. 28, 1976.

МЕТОД ОПРЕДЕЛЕНИЯ ФУНКЦИИ МОМЕНТОВ "ВЫХОДА"
СТОХАСТИЧЕСКИХ НЕСТАЦИОНАРНЫХ ДИНАМИЧЕСКИХ СИСТЕМ
С ДВУМЯ СТЕПЕНЯМИ СВОБОДЫ

Резюме

В статье предложен метод определения пробабилистических характеристик динамических систем с переменными коэффициентами и со случайным возмущением. Метод основан на использовании стохастического интегрального уравнения Вольтерра 2-го рода. Проведены вычисления вариации решения системы с двумя степенями свободы с переменной массой.

RESPONSE OF A TWO-DEGREE-OF-FREEDOM SYSTEM
TO NONSTATIONARY RANDOM EXCITATION

S u m m a r y

The paper presents a method of determining probabilistic characteristics concerning the response of a two-degree-of-freedom system of variable coefficients to random excitation. This method is based on the application of the stochastic Volterra integral equation of the second kind. On the basis of the suggested method there have been carried out numerical calculations concerning the variance of the response of the two-degree-of-freedom system with variable mass.